



# 信号与系统

---

## 连续时间系统的系统函数



# 主要内容

---

- **系统函数与时域特性**
  - 系统函数的极零图
  - 系统函数的零极点分布与系统时域响应的关系
- **系统函数与频域特性**
  - 复数的向量表示
  - 由系统函数的零极点分布勾画频响特性曲线
- **系统的稳定性**



# 系统函数的表示法

- 系统函数 $H(s)$ 是一个自变量 $s$ 为复数，函数值也为复数的函数，因此无法在一张图中反映所有的变化情况，通常我们用投影法作图，常用的图示法有：
  - 频率特性：幅频、相频图（ $s = j\omega$ ）
  - 极零点图：在 $s$ 平面上做幅频图，并做投影
- 幅频、相频图在傅里叶变换中已经进行了讨论
- 集中讨论极零点分布与系统稳定性、系统时域特性之间的关系

# H(s)的零点和极点

系统增益

$$H(s) = H_0 \frac{(s - z_1)(s - z_2) \dots (s - z_m)}{(s - p_1)(s - p_2) \dots (s - p_n)}$$

, 其中  $H_0 = \frac{a_m}{b_n}$

a. 零点(zero): 使  $H(s) = 0$  的  $s$  值, 令  $N(s) = 0$  求得。

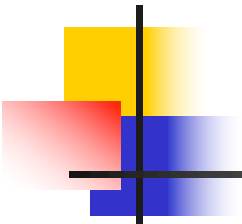
b. 极点(pole): 使  $H(s) = \infty$  的  $s$  值, 令  $D(s) = 0$  求得。

c. 当  $n > m$  时, 无穷大处有一个  $(n-m)$  阶零点:

$$\lim_{s \rightarrow \infty} H(s) = \lim_{s \rightarrow \infty} \frac{a_m s^m}{b_n s^n} = 0$$

当  $n < m$  时, 无穷大处有一个  $(m-n)$  阶极点:

$$\lim_{s \rightarrow \infty} H(s) = \lim_{s \rightarrow \infty} \frac{a_m s^m}{b_n s^n} = \infty$$

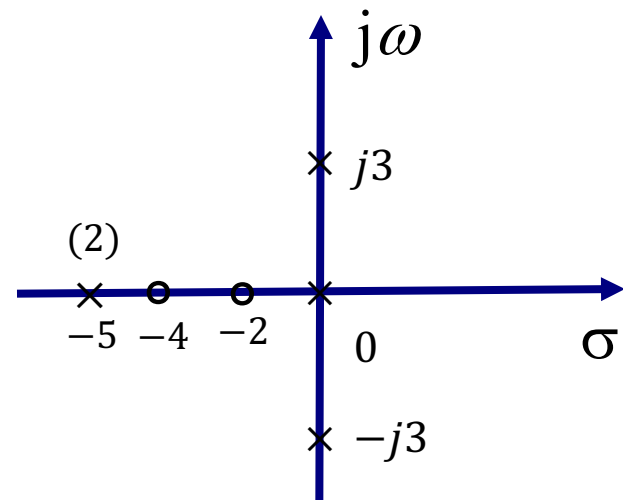


例如：  $F(s) = \frac{(s+2)(s+4)}{s(s^2+9)(s+5)^2}$

$$s = -2, s = -4,$$
$$s = 0, \pm j3, s = -5$$

## 2.极-零图

系统函数一般为s的实有理函数，其极点和零点的分布关于实轴对称。



极零图



# 系统函数与时域特性

---

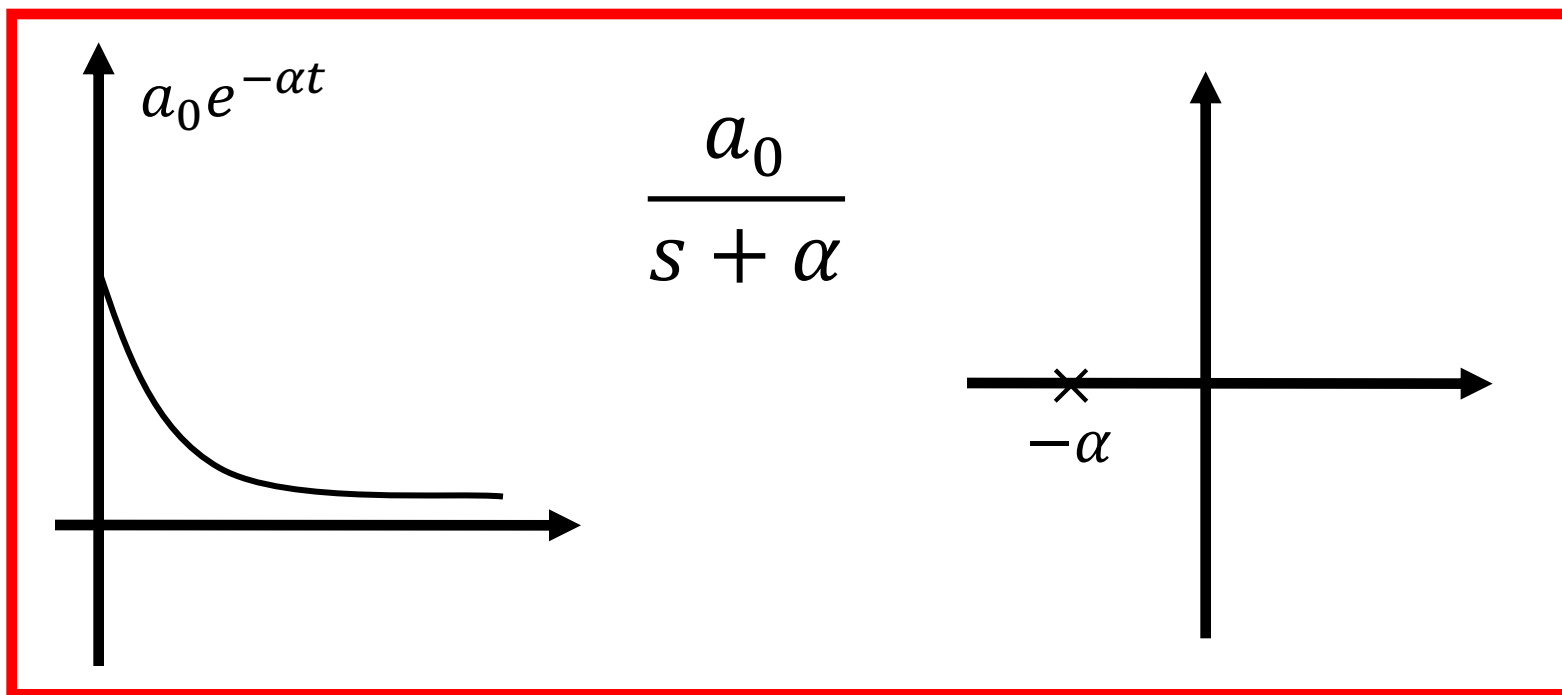
1.  $H(s)$  **极点**与单位冲激响应模式的关系

2.  $H(s)$ 、 $E(s)$  **极点**分布与响应的关系

3.  $H(s)$  **零点**对系统时域特性的影响

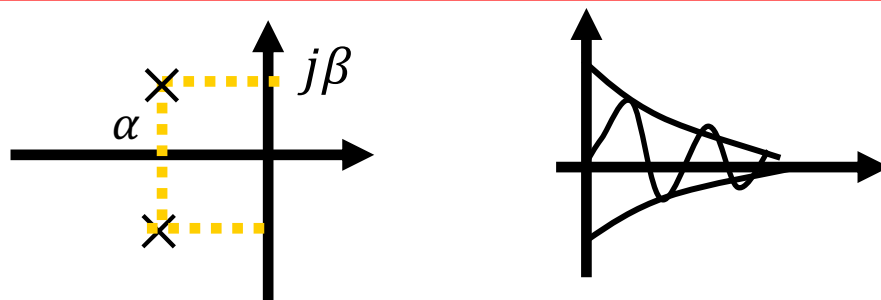
# 零极点与 $h(t)$ 时域波形的对应关系

① 左半开平面的极点：在负实轴上



## 零极点与 $h(t)$ 时域波形的对应关系（续一）

### ② 左半开平面的共轭极点



$$F(s) = \frac{s + b}{(s + \alpha)^2 + (j\beta)^2} = \frac{s + b}{(s + \alpha - j\beta)(s + \alpha + j\beta)}$$

$$f(t) = \frac{\sqrt{((b - \alpha)^2 + \beta^2)}}{\beta} e^{-\alpha t} \sin(\beta t + \varphi)$$

$$t \rightarrow \infty, f(t) \rightarrow 0$$

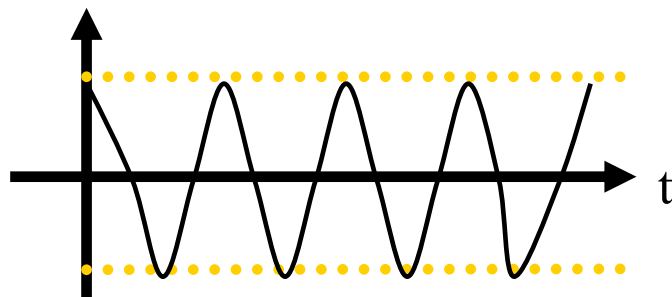
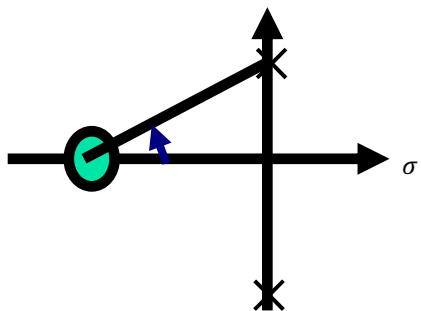


## 零极点与 $h(t)$ 时域波形的对应关系（续二）

### ③ 虚轴上的单极点

$$\frac{s + b}{s^2 + \beta^2} \leftrightarrow \frac{\sqrt{(\beta^2 + b^2)}}{\beta} \sin(\beta t + \phi)$$

$$\varphi = \arctg \frac{\beta}{b}$$





## 零极点与 $h(t)$ 时域波形的对应关系（续三）

### ④ 右半开平面的极点

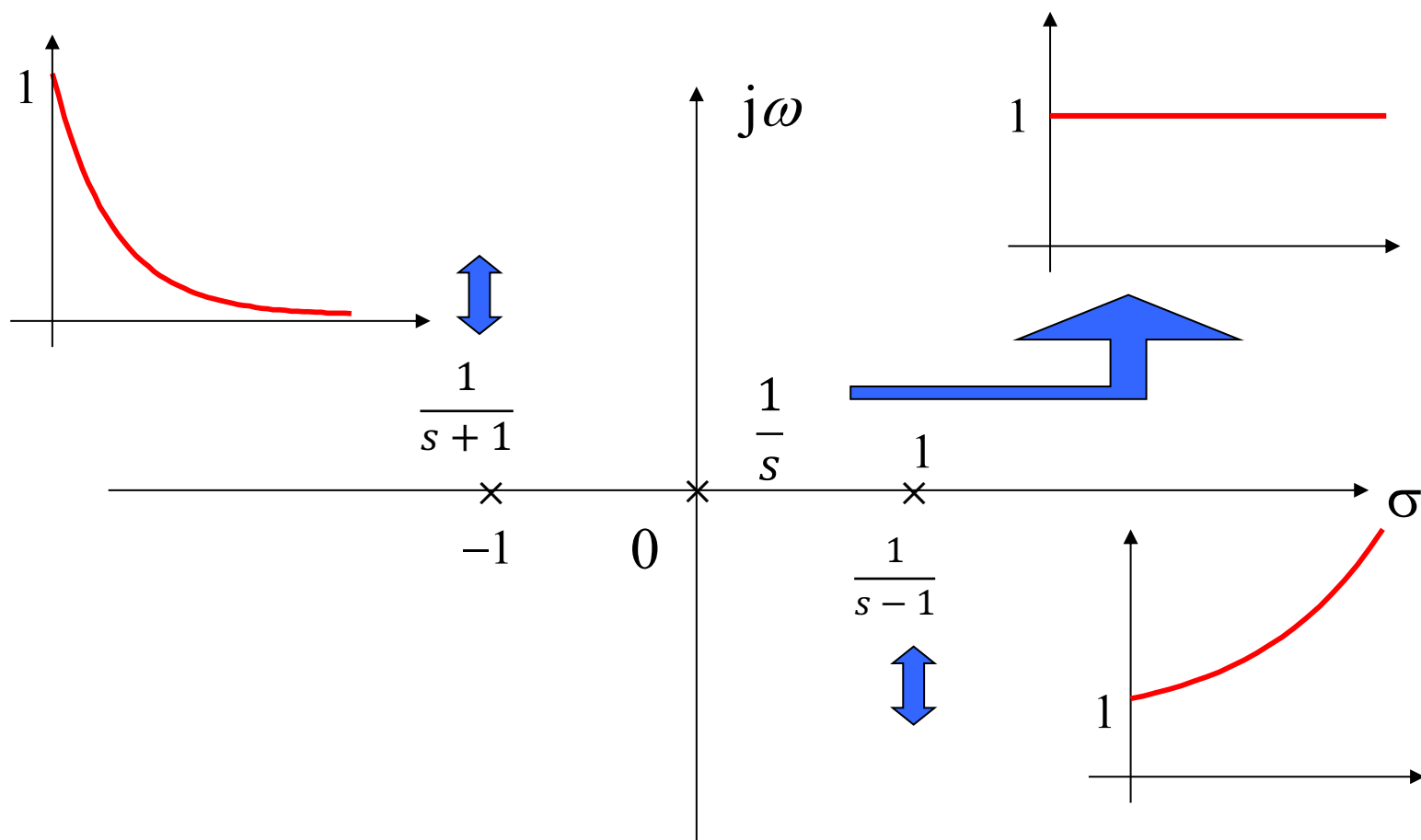
实轴上的极点：  $\frac{1}{(s-\alpha)} \leftrightarrow e^{\alpha t} u(t)$

共轭极点：  $e^{\alpha t} \sin(\beta t + \varphi) u(t) \leftrightarrow \frac{1}{[(s-\alpha)^2 + \beta^2]}$

$$t \rightarrow \infty, f(t) \rightarrow \infty$$

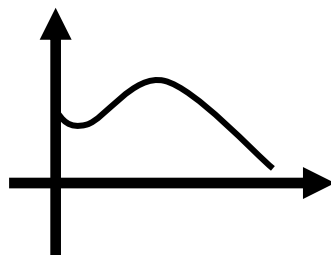
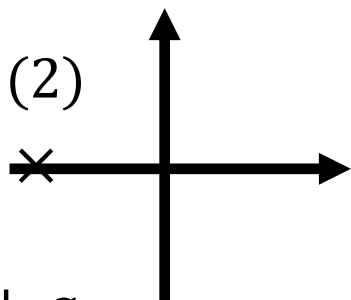
# 零极点与 $h(t)$ 时域波形的对应关系（续四）

位于 $\sigma$  轴的单极点的几种响应形式



## 零极点与 $h(t)$ 时域波形的对应关系（续五）

负实轴上的重极点的响应



$$\frac{a_1 s + a_0}{(s + \alpha)^2} \leftrightarrow [(a_0 - a_1 \alpha)t + a_1]e^{-\alpha t} \dots t > 0$$

$$\frac{1}{(s + \alpha)^m} \leftrightarrow \frac{t^{k-1}}{(k-1)!} e^{-\alpha t} \dots t > 0, k = 1, 2, 3 \dots m$$

$$t \rightarrow \infty, f(t) \rightarrow 0$$



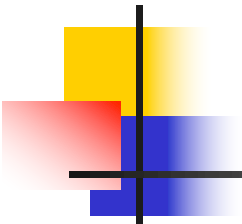
# H(s)极点与单位冲激响应模式的关系

虚轴	一阶	$\frac{1}{s}$	$\rightarrow u(t)$	稳态
----	----	---------------	--------------------	----

虚轴	一阶	$\frac{1}{s^2 + 1}$	$\rightarrow \sin(t)u(t)$	稳态
----	----	---------------------	---------------------------	----

虚轴	二阶	$\frac{1}{s^2}$	$\rightarrow tu(t)$	增长
----	----	-----------------	---------------------	----

虚轴	二阶	$\frac{1}{(s^2 + 1)^2}$	$\rightarrow t \sin(t)u(t)$	增长
----	----	-------------------------	-----------------------------	----



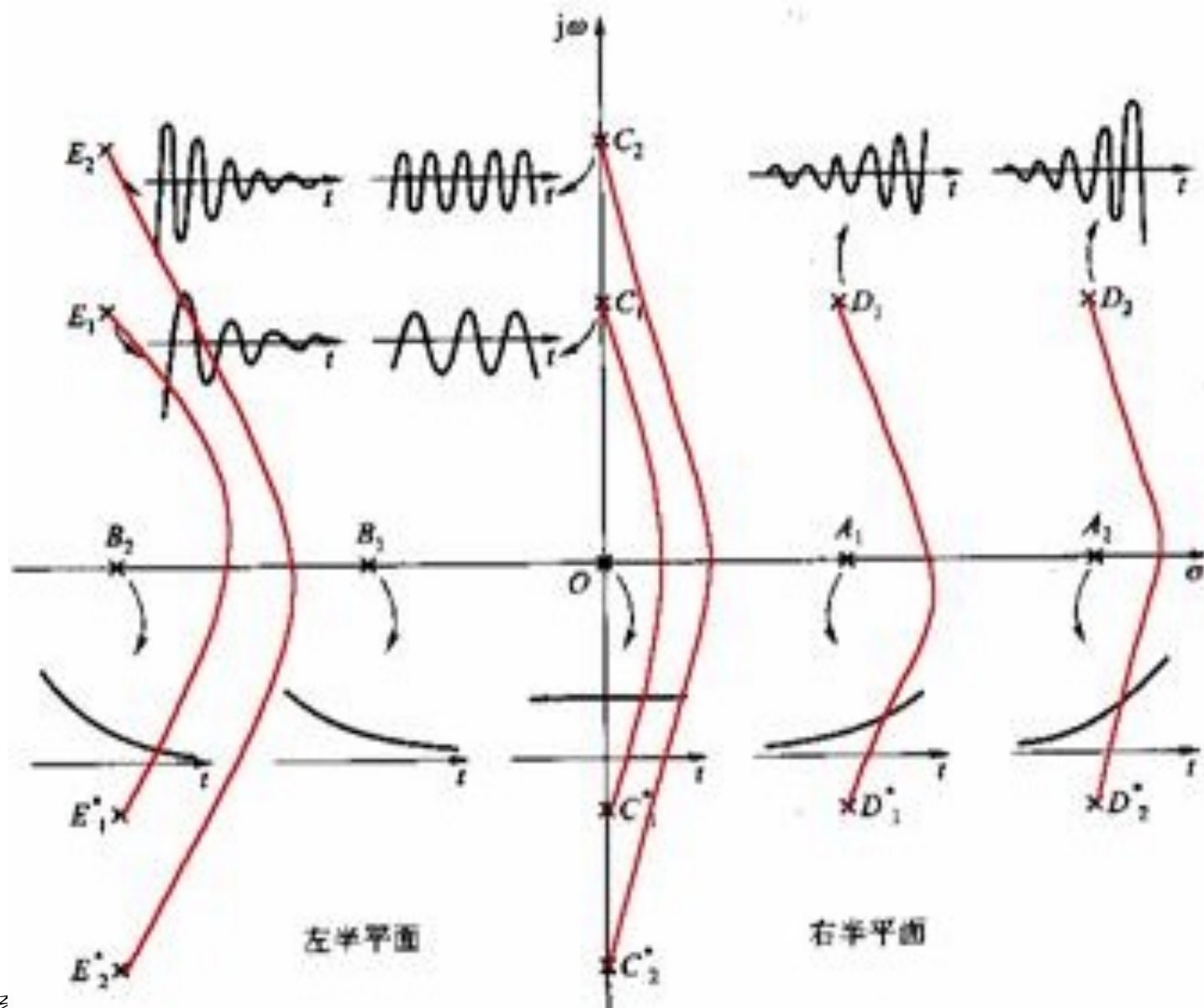
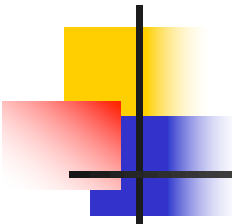
---

左半开平面 一阶  $\frac{1}{s+1} \rightarrow e^{-t}u(t)$  衰减

左半开平面 一阶  $\frac{1}{(s+1)^2+1} \rightarrow e^{-t} \sin(t)u(t)$  衰减

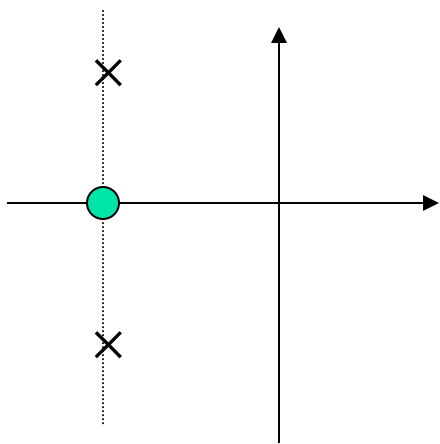
左半开平面 二阶  $\frac{1}{(s+1)^2} \rightarrow te^{-t}u(t)$  衰减

右半开平面极点 增长



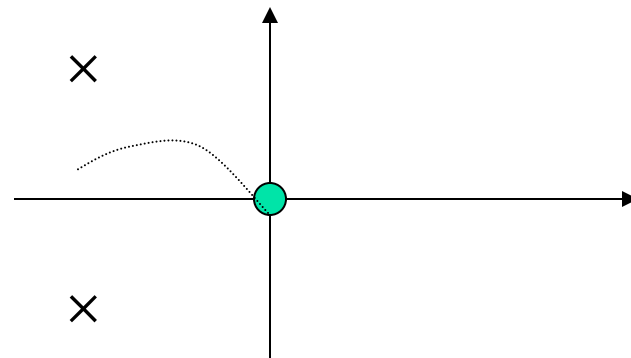
### 3. $H(s)$ 零点对系统时域特性的影响

$$H_1(s) = \frac{s + a}{(s + a)^2 + \omega^2}$$



零点移动  
到原点

$$H_2(s) = \frac{s}{(s + a)^2 + \omega^2}$$



$$h(t) = e^{-at} \cos \omega t$$

$$h(t) = e^{-at} \sqrt{1 + \left(\frac{a}{\omega}\right)^2} \cos(\omega t - \phi)$$
$$\phi = \tan^{-1}\left(-\frac{a}{\omega}\right)$$





**结论：零点的分布只影响时域函数的幅度和相移，  
不影响振荡频率**

$$h(t) = e^{-at} \cos \omega t$$

**幅度**

$$h(t) = e^{-at} \sqrt{1 + \left(\frac{a}{\omega}\right)^2} \cos(\omega t - \phi)$$

$$\phi = \tan^{-1}\left(\frac{a}{\omega}\right)$$

**相移**



# 零极点与时域波形对应关系小结

- ①  $H(s)$ 在左半平面的极点给出 $h(t)$ 的暂态分量
- ②  $H(s)$ 在虚轴上的单极点给出 $h(t)$ 的稳态分量
- ③  $H(s)$ 在虚轴上二阶或更高阶极点及右半平面的极点给出的 $h(t)$ 将随时间的增长而增长
- ④ 极点的分布只能说明 $h(t)$ 所具有的函数的模式，而不能说明 $h(t)$ 的大小及相位，大小及相位与零点有关



# $H(s)$ 、 $E(s)$ 极点分布与响应的关系

(1) 由经典的微分方程可知：

完全解 = 齐次解 + 特解



自由响应    受迫响应

(2) 由工作状态决定：

完全解 = 暂态响应 + 稳态响应

(3) 由因果关系决定：

完全解 = 零输入响应 + 零状态响应

# 自由响应与受迫响应

$$R(s) = H(s)E(s) = \frac{\prod_{l=1}^m (s - z_l)}{\prod_{k=1}^n (s - p_k)} \cdot \frac{\prod_{j=1}^u (s - x_j)}{\prod_{i=1}^v (s - q_i)}$$

来自H(s)  
的极点

$$R(s) = \sum_{i=1}^n \frac{k_i}{s - p_i} + \sum_{j=1}^v \frac{k_j}{s - q_j}$$

来自E(s)  
的极点

自由响应

$$r(t) = \sum_{i=1}^n k_i e^{p_i t} + \sum_{j=1}^v k_j e^{q_j t}$$

受迫响应



## 小结：

---

- $H(s)$ 的极点决定了自由响应时间函数的模式。
- $E(s)$ 的极点决定了强迫响应时间函数的模式。
- 自由响应与强迫响应的幅度和相位与 $H(s)$ 和 $E(s)$ 均有关。

# 系统函数的z-p点分布与频响特性

**频响特性**是指系统在正弦信号激励之下稳态响应随信号频率的变化情况。根据 $H(s)$ 在 $s$ 平面的零、极点分布情况可以绘制出频响特性曲线。

系统稳定时，令 $H(s)$ 中 $s = j\omega$ ，则得系统频响特性

$$H(j\omega) = H(s)|_{s=j\omega}$$

$$H(j\omega) = |H(j\omega)|e^{j\phi(\omega)}$$

**幅频特性**

**相频特性**

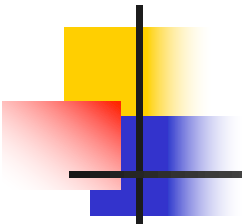


## 系统频响函数的向量表示

$$H(j\omega) = H_0 \frac{\prod_{i=1}^m (j\omega - z_i)}{\prod_{i=1}^n (j\omega - p_i)}$$

令  $j\omega - z_i = B_i e^{j\beta_i}, \quad j\omega - p_i = A_i e^{j\alpha_i}$

得 
$$H(j\omega) = H_0 \frac{\prod_{i=1}^m B_i e^{j\beta_i}}{\prod_{i=1}^n A_i e^{j\alpha_i}} = H_0 \frac{\prod_{i=1}^m B_i}{\prod_{i=1}^n A_i} e^{j(\sum_i \beta_i - \sum_l \alpha_l)}$$
$$= |H(j\omega)| e^{j\varphi(\omega)}$$


$$|H(j\omega)| = H_0 \frac{\prod_{i=1}^m B_i}{\prod_{i=1}^n A_i}$$

**幅频特性等于零点矢量模的乘积除以极点矢量模的乘积**

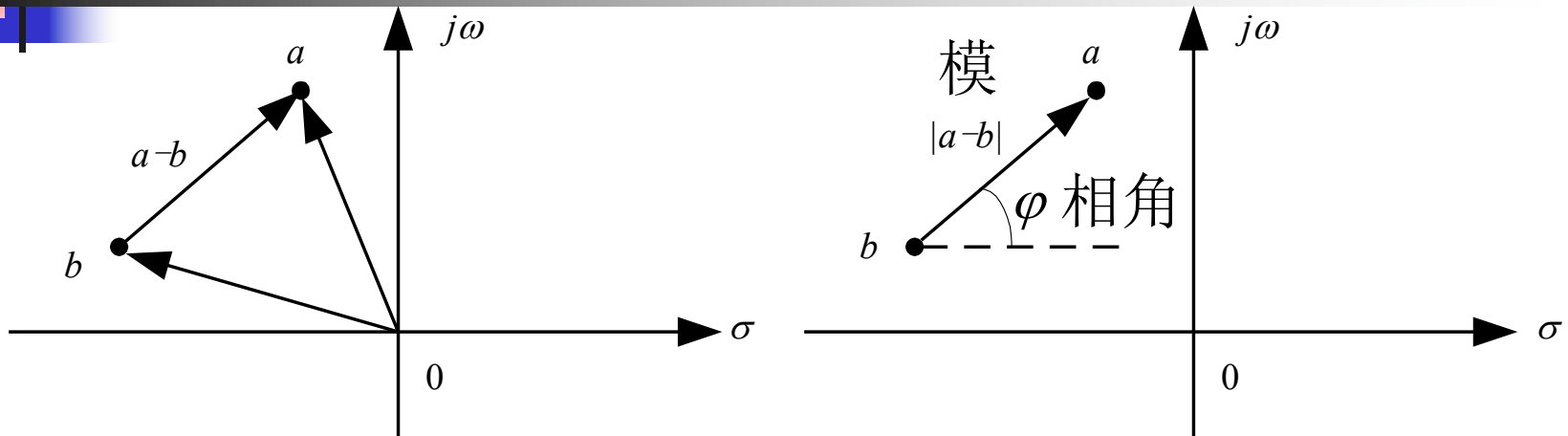
$$\phi(\omega) = \sum_i \beta_i - \sum_l \alpha_l$$

**相频特性等于零点矢量相角和减去极点矢量相角和**

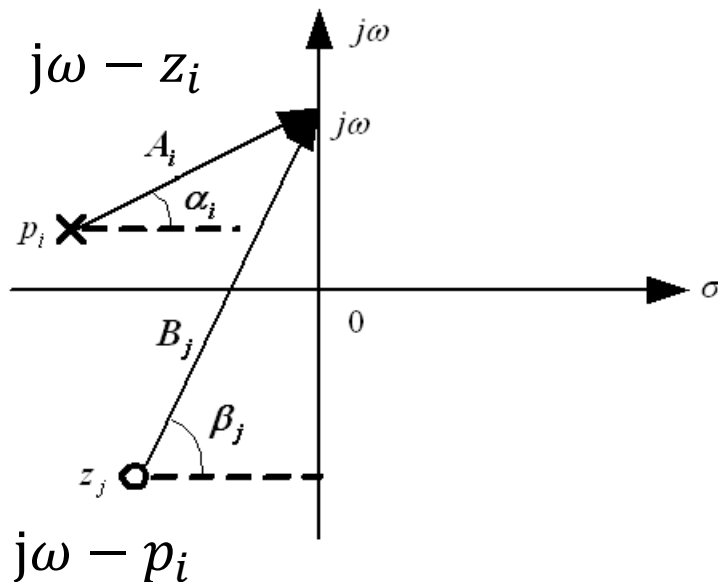
**给定一系列频率 $\omega$ 的值，由这两个式子就可以算出一系列的模量和相位的值，可以粗略画出幅频和相频曲线。**



# 复数a和b及a-b的向量表示



$$a - b = |a - b|e^{j\phi}$$



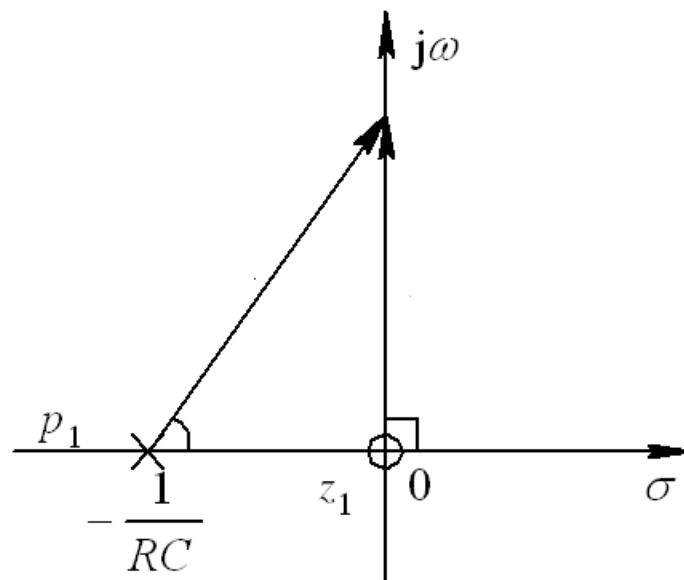
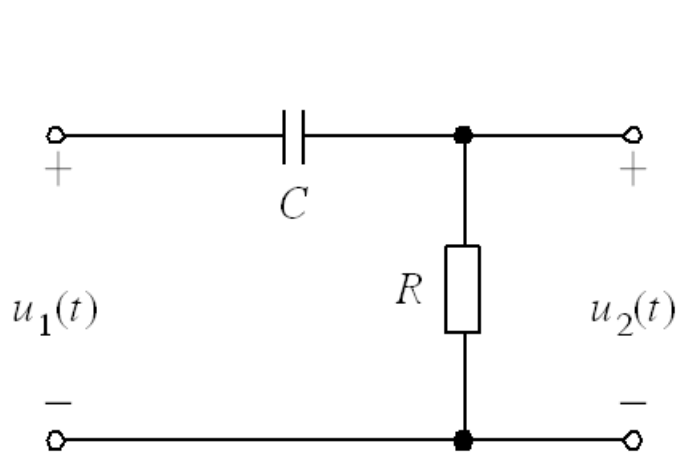
$$j\omega - z_i = B_i e^{j\beta_i}$$

— 零点矢量

$$j\omega - p_i = A_i e^{j\alpha_i}$$

— 极点矢量

例 一个由RC组成的滤波器如图所示,试分析其频响特性。



解: 系统函数为

$$H(s) = \frac{U_2(s)}{U_1(s)} = \frac{R}{R + \frac{1}{sC}} = \frac{s}{s + \frac{1}{RC}}$$

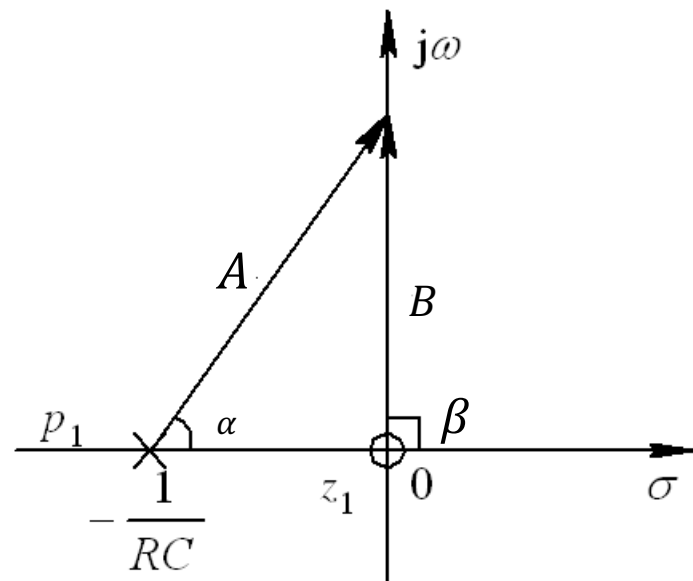
$$H(s) = \frac{s}{s + \frac{1}{RC}}$$

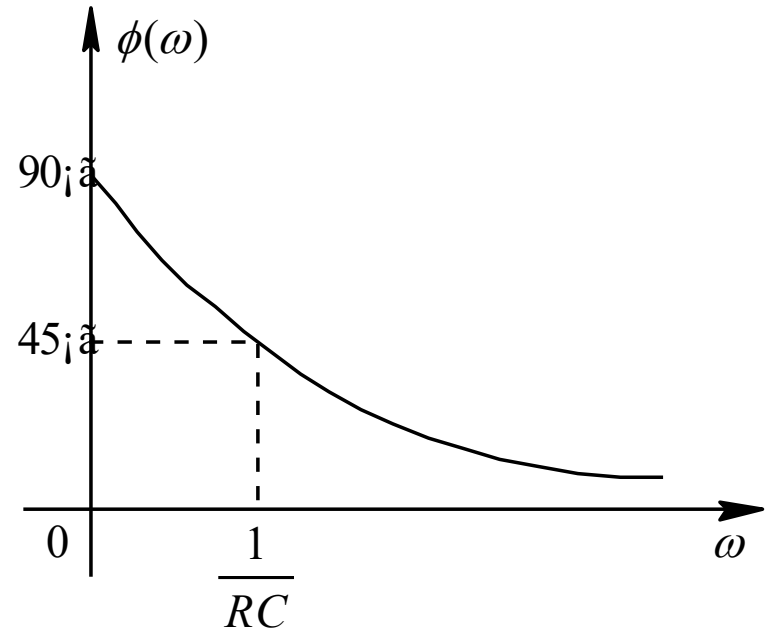
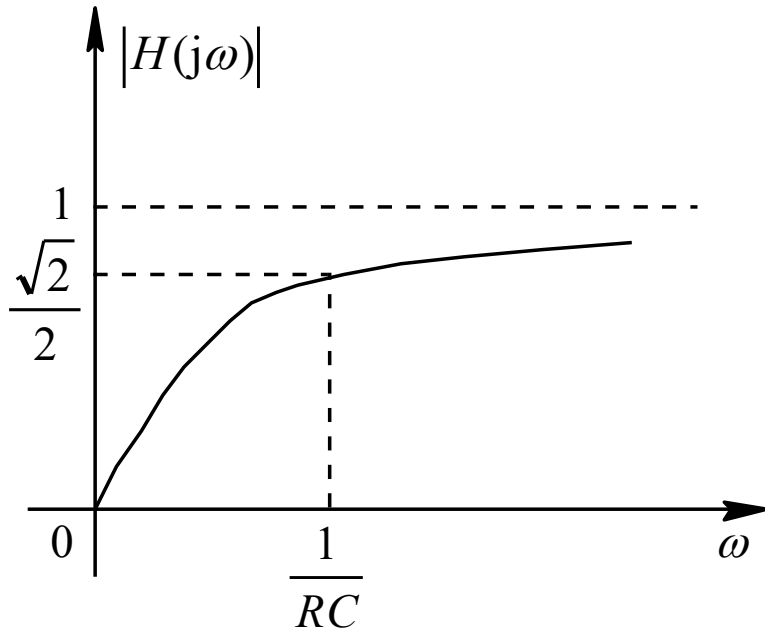
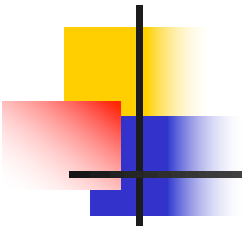
$$H(j\omega) = \frac{j\omega}{j\omega + \frac{1}{RC}}$$

零点矢量为  $j\omega - z = Be^{j\beta}$ , 极点矢量为  $j\omega - p = Ae^{j\alpha}$ , 于是

$$|H(j\omega)| = \frac{B}{A}$$

$$\phi(\omega) = \beta - \alpha$$





## 高通滤波器

# 线性系统的稳定性

## 稳定性的定义

如果一个系统对于任何有界的输入，其响应也是有界的。  
既：若 $|e(t)| < M_e$ ，则有 $|r(t)| < M_r$ ，其中 $M_e, M_r$ 为有限的正实数，那么我们称该系统是稳定的。

稳定线性系统完全等价条件



$$\int_{-\infty}^{\infty} |h(t)| dt < \infty$$

# 线性系统稳定性等价条件证明

充分性:

$$r(t) = e(t) * h(t)$$

$$|r(t)| = \left| \int_{-\infty}^{\infty} e(t-\tau)h(\tau)d\tau \right| \leq \int_{-\infty}^{\infty} |e(t-\tau)h(\tau)|d\tau$$

$$\because |e(t-\tau)| < M_e \quad \boxed{\int_{-\infty}^{\infty} |h(\tau)|d\tau < \infty}$$

$$\therefore |r(t)| \leq M_e \int_{-\infty}^{\infty} |h(\tau)|d\tau = M_r$$

**必要性:** 用一个特例,即当 $t$ 趋向无穷大时,如果 $h(t)$ 不绝对可积,则确实存在一个有界的函数在该系统所引起的响应是无界的(反证法).



## 线性系统稳定性等价条件证明（续）

设  $f(-t) = \frac{h(t)}{|h(t)|}$  显然  $|f(t)| = 1$

$$\therefore r(t) = \int_{-\infty}^{\infty} f(t - \tau)h(\tau)d\tau$$

$$\therefore r(0) = \int_{-\infty}^{\infty} f(-\tau)h(\tau)d\tau = \int_{-\infty}^{\infty} \frac{h(\tau)^2}{|h(\tau)|} d\tau = \int_{-\infty}^{\infty} |h(\tau)| d\tau$$

如果  $\int_{-\infty}^{\infty} |h(t)|dt \rightarrow \infty$ ,

则在  $t = 0$  处响应是无界的——矛盾！



# 系统的稳定性与极点的关系

- 系统 $H(s)$ 的极点一般是复数，讨论它们实部和虚部对研究系统的稳定性很重要
- 不稳定系统  $\text{Re}[p_i] > 0$  增幅
- 临界稳定系统  $\text{Re}[p_i] = 0$  等幅
- 稳定系统  $\text{Re}[p_i] < 0$  衰减





## 系统的稳定性与极点的关系（续）

从 $z$ - $p$ 点在 $s$ 平面的分布来考察系统的稳定性可以得到如下的结论:

- ①  $H(s)$ 在右半平面内不能有极点
- ②  $H(s)$ 在 $j\omega$  轴的极点必须是单阶的
- ③  $H(s)$ 分子多项式的阶数 $m$ 不能大于分母多项式的阶数 $n$

# 连续时间系统

因果	响应不早于激励	
	$h(t) = 0, \quad t < 0$	
稳定	$\int_{-\infty}^{\infty}  h(t)  < \infty$	
	因果系统	$\int_0^{\infty}  h(t)  < \infty$
		系统函数H(s)的所有极点全部位于s平面的左半开平面